

电子变压器

〔美〕 Harold M. 诺顿别格著

(内部资料)

上海无线电二十七厂

一九七四年八月

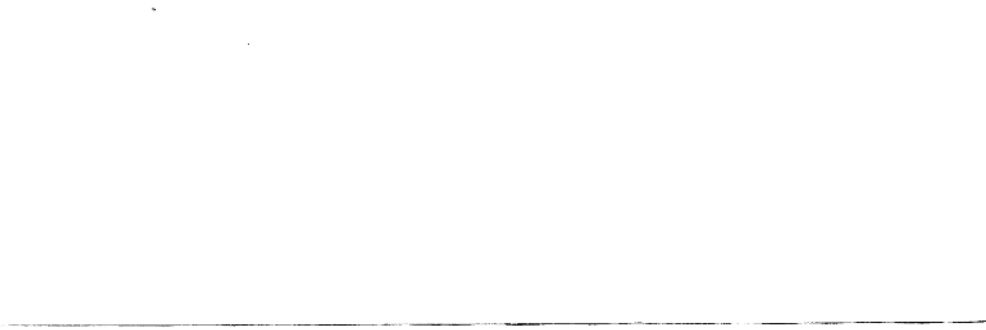
序 言

电子设备的可靠性这个问题是从现代工艺学发端就一直提起的问题，随着电子学和所有工艺学的迅速发展，当前这个问题就更显重要。严格的工作条件，对设备提出了更复杂的要求，这些都应在电路设计、工艺结构及电子元件的选用中给予尽量的注意。性能的稳定取决于电子器件和设备的生产技术。然而，对电子器件精心地选择和应用是决定电子设备可靠性的重要因素，要对电源变压器、音频变压器和脉冲变压器等作这样的选择和应用，就要求详细了解有关这方面的设计、制造及测试的技术。有关电子变压器的其它书籍虽已不少，但从读者的需要着眼的似尚不足。

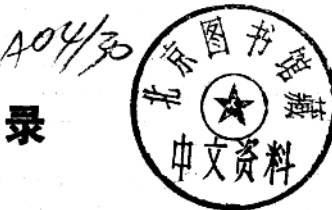
鉴于电子变压器有各种不同的品种，这类书必须选择那些阐明一种特种结构的技术。本书把军用变压器作为例子，因为它们代表最新的设计及结构技术。而商品变压器一般首要考虑的是价格，这就使其结构与材料的选用偏向于比较普通或者便宜的种类。

一般电子元件从开始发展到大量生产，常需二年到七年，这要看元件的种类及所花力量的大小。电子变压器等级的低端是它的尺度，因为新技术与新材料的引进对变压器生产来说是比较容易的，微小的改革及改进是一个不断发展的过程。电子元件制造者乐于提供他们产品的最新情况。

Harold M. 诺顿别格



TM4
5



目 录

编者的话	
序 言	
第一章 变压器工作原理	
§ 1-1 电流和匝数的关系	3
§ 1-2 漏感	4
§ 1-3 变压器的向量图	5
§ 1-4 等效电路	5
§ 1-5 电压调整率	7
§ 1-6 变压器损耗和效率	8
第二章 电子变压器材料	9
§ 2-1 绝缘材料	9
§ 2-2 介电强度	12
2-2-1 电场	12
2-2-2 脉冲对介质击穿的影响	15
2-2-3 频率对介电强度的影响	15
§ 2-3 介质常数	16
§ 2-4 介质损耗	16
2-4-1 损耗因数	16
2-4-2 功率因数	16
2-4-3 介质损耗因数	16
2-4-4 电阻率	17
§ 2-5 电晕	17
§ 2-6 绝缘系统	18
§ 2-7 导线的绝缘	19
2-7-1 极高温导线	20
2-7-2 玻璃纤维	20
2-7-3 不处理的导线	20
2-7-4 导线	21
2-7-5 温度对电导的影响	21
2-7-6 在 350°C 时对导线的评价	22
2-7-7 金属被复或电镀导线	23
§ 2-8 层间绝缘	24
2-8-1 低温	24
2-8-2 高温	24
2-8-3 极高温	24
§ 2-9 填充材料	24
2-9-1 低温	26
2-9-2 高温	26
2-9-3 极高温	26
§ 2-10 填充材料	27
2-10-1 脉冲评价	28
2-10-2 功率因数	30
2-10-3 湿度	30
2-10-4 溶解的气体	30
2-10-5 电压施加的时间	30
2-10-6 电阻率	31
2-10-7 膨胀系数	31
2-10-8 导热率	31
2-10-9 油的氧化	31
2-10-10 极高温	32
§ 2-11 密封材料	32
2-11-1 低温	32
2-11-2 高温	32
§ 2-12 对地的绝缘	33
2-12-1 低温	33
2-12-2 高温和极高温	33
§ 2-13 铁心材料	33
2-13-1 铁心损耗	33
2-13-2 涡流损耗	33
2-13-3 铁心形状	34
2-13-4 最佳铁心尺寸	34
2-13-5 高温应用	34
2-13-6 温度对铁心损耗的影响	36
2-13-7 温度对激磁电流的影响	37
2-13-8 铁心材料的 600°C 老化试验	37
2-13-9 铁心的涂复	37
§ 2-14 特殊的环境影响	38
§ 2-15 辐射的影响	39
2-15-1 磁性材料	39
2-15-2 变压器	40
2-15-3 绝缘	40
2-15-4 外壳材料	41
§ 2-16 端接材料	44

A 842603

- 4 -



2-16-1 玻璃绝缘子	44	§ 5-11 音频变压器	83
2-16-2 压缩式套管	44	5-11-1 三极管输出变压器	83
2-16-3 金属化陶瓷套管	45	5-11-2 五极管耦合变压器	84
2-16-4 浇注的环氧套管	45	§ 5-12 晶体管变压器	84
第三章 变压器的测试	46	§ 5-13 低压脉冲变压器	86
§ 3-1 机械和环境试验	47	5-13-1 脉冲传输(耦合型)	88
3-1-1 外观检验和机械试验(外部)	47	5-13-2 前沿	88
3-1-2 引出端强度	47	5-13-3 非配	90
3-1-3 密封试验	47	§ 5-14 间歇振荡器变压器	90
3-1-4 介质耐压	48	§ 5-15 高压脉冲变压器	92
3-1-5 感应电压测试	49	5-15-1 脉冲波形	93
3-1-6 绝缘电阻	49	5-15-2 脉冲变压器负载	93
3-1-7 寿命试验	50	5-15-3 脉冲源	93
3-1-8 电晕放电	51	5-15-4 大功率脉冲变压器等效电路	94
3-1-9 温升	52	5-15-5 脉冲前沿特性	95
3-1-10 温度循环与温度冲击	55	5-15-6 脉冲顶部特性	96
3-1-11 震动与冲击	55	5-15-7 脉冲尾部	97
3-1-12 浸泡	55	5-15-8 对线路设计人员来说,需要了解参数对变压器设计的影响	98
3-1-13 耐燃性	55		
3-1-14 外观和机械检查(内部)	56		
3-1-15 潮湿电阻	56		
3-1-16 绕组的连续性	57		
3-1-17 过载	57		
第四章 变压器的规范与选择	69		
§ 4-1 军用技术规范	69		
§ 4-2 EIA技术条件	71		
§ 4-3 国外技术条件	71		
§ 4-4 变压器符号	71		
§ 4-5 标准变压器	72		
§ 4-6 变压器的选择	73		
第五章 电源、音频和脉冲变压器	77		
§ 5-1 电源变压器	77		
§ 5-2 变压器容量	77		
§ 5-3 电源频率	78		
§ 5-4 尺寸	78		
§ 5-5 最高工作温度与寿命	79		
§ 5-6 最高工作温度与重量	79		
§ 5-7 温升	79		
5-7-1 影响温升的因素	79		
5-7-2 温升测量	81		
§ 5-8 自耦变压器	81		
§ 5-9 阻流圈	81		
5-9-1 滤波阻流圈	81		
5-9-2 充电电感	82		
§ 5-10 稳压器	83		
		第六章 特种变压器的制造	100
		§ 6-1 需要的防潮保护	101
		6-1-1 气密密封结构	101
		6-1-2 油浸式变压器	102
		6-1-3 大型油浸式高压变压器	103
		§ 6-2 成本	106
		§ 6-3 工作温度范围	106
		§ 6-4 重量	107
		§ 6-5 体积	107
		§ 6-6 可燃性	107
		§ 6-7 其他性能	107
		§ 6-8 充氟化合物液体和气体的小型变压器	108
		§ 6-9 密封结构	115
		6-9-1 环氧树脂	116
		6-9-2 硅橡胶	117
		第七章 电源变压器的设计步序	120
		§ 7-1 磁通密度	120
		§ 7-2 电流密度	120
		§ 7-3 铁心外形的最佳值	120
		§ 7-4 最小重量和体积	120
		§ 7-5 简化的设计步序	121
		§ 7-6 概述	121
		7-6-1 高温工作	121
		7-6-2 设计的补充说明	135
		7-6-3 制作技术	136
		第八章 变压器的故障	140

§ 8-1 故障率	140	§ 9-1 极高温	148
8-1-1 过高的初级电压	141	§ 9-2 超高温	153
8-1-2 过大的次级电流	141	§ 9-3 承受核辐射的超高温变压器	156
8-1-3 输入频率的波动	141	9-3-1 绝缘系统	156
8-1-4 电晕	141	9-3-2 辐射试验	157
§ 8-2 现场故障	142	§ 9-4 带形线圈变压器	157
§ 8-3 低气压状态下工作	144	§ 9-5 极高温带形线圈变压器	159
§ 8-4 制造中的缺陷	144	第十章 展望	160
8-4-1 绕组压力	145	§ 10-1 材料	160
8-4-2 出头的连接	145	§ 10-2 铁心玻璃粘合物	160
8-4-3 真空浸渍	146	§ 10-3 技术	161
8-4-4 浇注	147	10-3-1 工作频率	161
8-4-5 外壳	147	10-3-2 寿命	161
8-4-6 安装件	147	参考文献	162
第九章 变压器的实验类型	148		

第一章 变压器工作原理

本书述及的范围，限于电子技术应用的音频、电源和脉冲变压器。不过，铁心变压器的原理和所用零部件，都是类似的。

变压器是一静止的器件，它用来将电能从某一交流电路传输到另一电路，它的频率是不变的，而电压可能是同一电压、较高电压或较低电压。在相应的情况下，它便叫做隔离变压器、升压变压器或降压变压器。

变压器没用可动的零件，具有高效率，也可做各种电压比。后者是由于它的线圈能根据结构需要，加层间绝缘，再以漆、液体或气体的浸渍。

变压器的原理，是基于通过磁路将电能有效地从一个绕组传到另一绕组。一只变压器必须有二个或更多的绕组，其中一个绕组从电源接受能量，它叫做初级线圈，然后通过磁耦合到另一绕组或更多绕组，供给负载以电能，这叫做次级线圈。能量的交换是由于铁心中磁通的变化，它的幅度随时间而变动。图 1-1(a) 是一只简单的变压器，说明了电能从初级传到次级线圈。磁力线通过磁路，环绕铁心耦合到次级线圈。初级的交流电流感应出磁通变化，而在次级，也产生同样的变化。在次级绕组里产生一电动势，这样就使次级供给电能。由于电源频率决定了磁通的变速，所以电能从初级传到次级，它的频率是一样的。

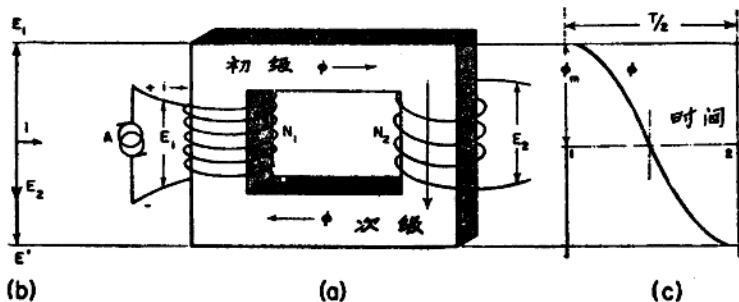


图 1-1 (a)简单变压器，(b)变压器的电压关系，(c)磁通随时间的正弦变化

磁路中的磁通量中，叫做互感磁通量，它和初级的所有匝数相耦合，同样的，也和次级的所有匝数相耦合。因此，它在初级和次级都感应出一个电动势。磁路中每一点的磁通量是相同的，它对绕组的每一匝感应出同样的电动势。感应电动势和频率 f ，匝数 N 和最大磁通瞬时值 ϕ_m 成正比。如图 1-1(b) 所示，当电压 E_1 加到变压器的初级绕组 N_1 ，由于高感应电路，相应产生的电流 i 是很小的。假使忽略无载损耗(主要是铁心损耗)，无载电流滞后电压 E_1 90° 。由于这电流在铁心中产生磁通 ϕ ，所以叫做磁化电流。这磁通切割初级绕组 N_1 ，从而使初级绕组感应出反电动势 E' 。由于初级绕组的电阻忽略不计， E' 应等于 E_1 。这就是说，

在每周的任何瞬间，由磁通而产生的感应电动势应等于所加电压。因此，电流 i 必须有足够的数值，以产生需要的磁通，通常为额定值的 1~10%。在一实际变压器中，虽然磁通恰巧滞后所加电压 90° ，无载电流滞后所加电压略小于 90° （由于各种损耗）。如图 1-1(a) 所示，假使所加电压是正弦波， E' 也必然是正弦波，见图 1-1(c) 所示；磁通的变化，也是正弦的。在这曲线图的点 1 和 2 之间，总磁通的变化是 $2\phi_m$ ，这一变化发生在半周或时间 $T/2$ 秒，这里的 T 是周期或整个一周的时间，因此这时间 $T/2$ 秒是等于 $\frac{1}{2f}$ 秒。平均感应电动势等于总磁通除以时间，

因此，变压器绕组每匝的平均感应电动势为：

$$E_a = \left(-\frac{2\phi_m}{\frac{1}{2f}} \right)^{10^{-8}} \text{ (V)} \dots \quad (1-2)$$

正弦波每半周的波形系数是有效电压和平均电压之比，也就是 $\frac{1}{\sqrt{\frac{2}{3}}} \times \frac{\pi}{2} = 1.11$ 。

也可化为:

由于线圈的每匝实际上切割同样的磁通, N_1 匝线圈总的有效感应电压是:

这一电压在任一瞬间，必须相等和反相于所加电压 E_1 ，因为 E' 是仅有的电压，它限制了线圈的电流。因此，如图 1-1(b)所示，所加电压 E_1 和 E' 相差 180° ，比电流 i 超前 90° 。

假使全部磁力线通过铁心, 同时耦合到每一 N_2 匝。由这一磁通量产生电压 E_2 , 它的振幅将按公式(1-6)得:

同样的磁通量产生 E' 和 E_2 ，因此，这电压和次级电压 E_2 是同相的，而和所加电压 E_1 差 180° 。从公式(1-6)和(1-7)，初次级电压和匝数的关系可化成：

因此，初次级的电压比和初次级的匝数比是相同的。在许多场合下，由于损耗很小，可将端间电压考虑为感应电动势。但是实际生产的变压器，次级绕组所切割的磁力线并不完全一样，这是因为当有负载时，初级绕组有电压降。所以满载时的电压比，并不完全等于匝数比。

假使磁通量和时间按正弦波变化，那末公式(1-5)中的 1、11，必须以实际的波形系数 K_1 来代替。

在某些情况下，采用 MKS 制有很多优点。那末 ϕ_m 的单位用韦伯来表示，用于正弦波的公式(1-6)将变为：

这可更方便的化成:

式中, $\phi_m = B_m A$;

B_m ——最大磁通密度;

A—铁心截面积。

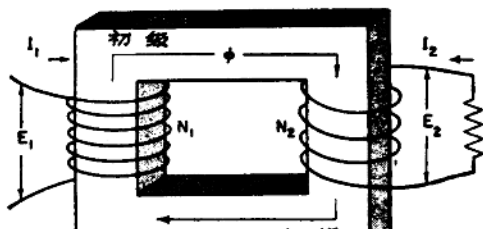
在很多情况下，这个公式更切实用，这是因为变压器铁心对某种材料的设计，总是基于最大磁通密度的允许值。

§ 1-1 电流和匝数的关系

如前所述，初级绕组的无载电流仅假定为磁化电流 i ，它滞后于所加电压 E_1 90° ，与磁通 ϕ 同相。在实际的变压器里，必须考虑无载损耗（主要是铁心损耗）。因此实际无载损耗或激磁电流 i_1 大于 i ；相对地说，它是较小的，约滞后 $70\sim 80^\circ$ 。这一电流的振幅，在不同的变压器中，有很大的变化，一般为满载电流的 $1\sim 10\%$ 。这一无载电流由两部分所组成：有功部分 $i_p = i_1 \cos \theta$ ，当乘以初级电压后，这就是无载功率。此外是无功部分 $i = i_1 \sin \theta$ ，它是磁化电流、用以产生磁通 θ 。这角度 θ 是所加电压和无载电流 i 间的相位差。

如图 1-2(a) 所示, 当次级电路闭路的时候, 就产生电流 I_2 , 它的数值决定于电路的总阻。楞次定律说明电流 I_2 的方向和所产生的磁通相反。这一电流倾向于减小磁通 ϕ , 减小初级电路的反电动势, 而容许更多的电流通过。这增加的初级电流 I_1 流经的方向, 促使磁通 ϕ 的增加, 以补充磁通 ϕ 到接近于原始数值。加一负载到变压器次级的实际使用结果, 使初级从电源接受相当于次级需要的功率。

在次级负载的情况下，变压器铁心有



(a)

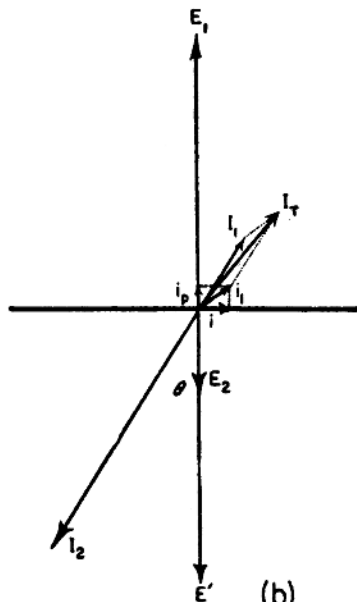


图 1-2 (a)简单变压器, 次级负载,
(b)变压器的电流关系

三部分磁化力：

- (a) $N_2 I_2$ 安匝——次级负载电流;
 (b) $N_1 I_1$ 安匝——初级负载电流;
 (c) $N_1 i$ 安匝——初级磁化电流。

磁动势(a)将减弱磁通量，而(b)将增强磁通量。这两磁通势振幅相等，而效应相反，而让磁通势 N_1i 产生磁通量 ϕ 。变压器绕组的相对低等效阻抗，允许只有一极小电压，就能使满载电流通过绕组。因此，满载时初级所产生的反电动势，仅略小于无载时的反电动势。假使电动势实际保持恒值的话，反电动势决定于磁通量 ϕ ，它在满载时必须仅略小于无载时。对恒压变压器来讲，在全负载时，通常假定磁通量 ϕ 是一恒值。如上所述，电流比是 $N_1I_1 = N_2I_2$ ，那末

也就是说，电流和匝数成反比。这好象是说，初级负载电流 I_1 将在初级绕组产生一很大的电抗性降压，因为这一绕组是高电感性的。这就说明，假使电流 I_1 产生些磁通，但是如前所述，假使漏磁忽略不计、由 I_1 所产生的磁通，将被次级电流 I_2 所抵消，因此，没有那些电流将在绕组里产生电感性的压降。

在一只实际变压器里，如图 1-2(b)所示，初级和次级都有一点电感性压降，因为两磁通势不能完全相互抵消。在这一图里，由于绕组的电阻和电抗所产生的压降是忽略不计的。取 $\cos \theta$ 为次级负载的功率因数， I_2 将和 E_2 反相 θ 度。相应的初级电流 I_1 可从圈数比公式(2-11) 来决定，它和 I_2 相差 180° 。总的初级电流 I_t 为 i_1 和 I_1 的向量和；但是，由于 i 很小，几乎和 I_1 差 90° ，初级绕组的总电流，几乎等于 I_1 ，初级绕组的功率因数接近于次级的。在负载的变压器里，实际上假定初级绕组的功率因数和负载的功率因数相同。从这种情况来看，一只变压器可看作一种装置，它把能量从一个电路变换到另一电路而不改变功率因数。

§ 1-2 漏 感

如前所述，都假定没有漏磁，也就是说，由初级绕组产生的全部磁通都耦合到或切割次级绕组的所有匝数。但是在实际变压器里，这是不真实的。变压器磁通的实际分布情况如图(1-3a)所示，这和图(1-1a)所示理想变压器是一对比。初级的安匝 $N_1 I_1$ 并没有全部被次级所抵消。这磁通 ϕ_1 环绕初级绕组，而没有经过次级；因此，这磁通 ϕ_1 在初级绕组造成了电抗性压降。同样的，电流 I_2 造成了磁环 ϕ_2 ，它不和初级相耦合，因此在次级绕组造成了电抗性压降。这些漏磁 ϕ_1 和 ϕ_2 的效应，如图 1-3(b) 所示，相当于在初次级电路里，引入了电抗 X_1 和 X_2 。在电源变

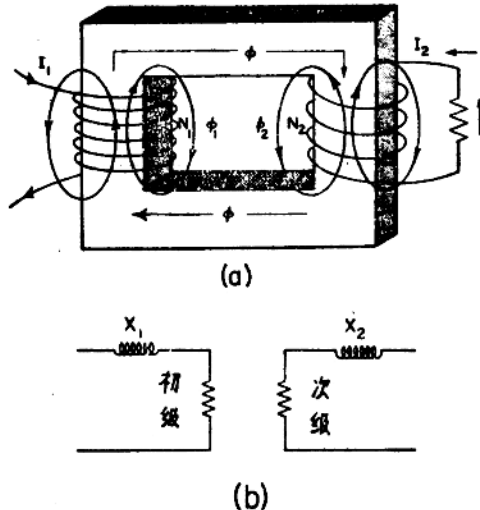


图 1-3 (a)简单变压器中的漏磁。
(b)等效电路中漏磁效应

压器实际设计工作中，为了使完全负载情况下，保持原有输出电压，必须使漏感做到最小值。为了保证低漏电抗，初次级在必需的情况下，尽可能靠近。在变压器的结构里，通常不如图 1-1(a), 1-2(a) 和 1-3(a) 所示，将初次级分别放在铁心的两腿上，而如图 1-4 所示那样排列。

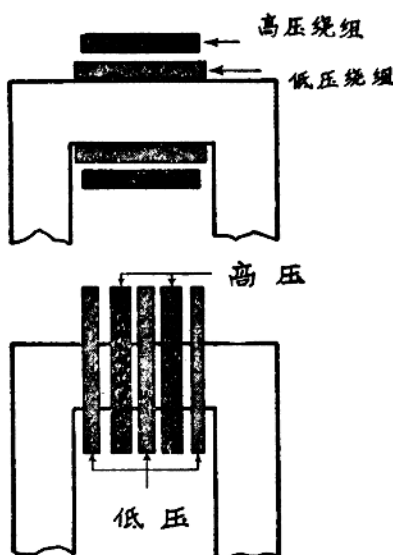


图 1-4 变压器线圈的安排 ✓

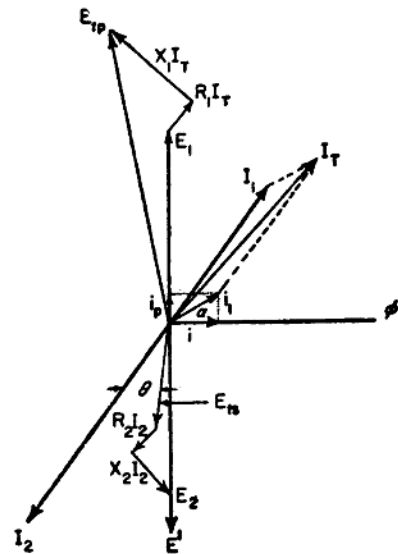


图 1-5 变压器的向量图

§ 1-3 变压器的向量图

图 1-5 所示，是一实际变压器的向量图，初级所加电压的一部分 E_{tp} 被耗用在克服因初级电阻 R_1 和电抗 X_1 所造成的压降。 E_1 必须为等值反相的 E' （自感应产生的反电动势）所平衡。在任一瞬间，必须有足够的激磁电流产生磁通 ϕ ，以便感应出电压 E' 相等于 E_1 。这磁通 ϕ 也感应出次级电压 E_2 ，这一数值决定于匝数比。类似于初级，电压 E_2 的一部分也由于次级电阻 R_2 和漏感 X_2 而损失；而剩余次级端电压 E_{ss} 。无载电流 i_1 是由磁化电流分量 i 和有功电流分量 i_p （供给变压器的铁心损耗）所组成。初级的总电流 I_1 是 i_1 和 I_1 的向量和， I_1 是由次级电流按公式(1-11)的匝数比所反射到初级的电流。电流 I_1 随着次级负载电流 I_2 而变化，但是 i 经常保持恒值，同时只为满载情况下的百分之几。因此，初级总电流 I_1 几乎和 I_2 成正比，而相差接近 180° 。由于初次级电阻和电抗所造成的压降只有端电压的很小百分值，在全负荷下，它的端电压 E_{tp} 和 E_{ss} 通常是恒值，同时两者相差 180° 。

§ 1-4 等效电路

图 1-5 所示，是两个绕组的电压损失。这些损失是由于电阻和漏感所造成。在变压器计算中，可以很方便的假定绕组之一具有零电阻和零电抗，而另一个绕组具有电阻和电抗而得到相同的电压损失。图 1-6(a) 是这样一只变压器的等效电路。当次级假定为零电阻时，初级电路的电阻必须增加适当数量 R_3 ，以便使变压器总电压损失保持不变，次级端电压 E_{ss} 仍和实际变压器中的—样。由于次级绕组的电阻而产生的压降 $E_R = -R_2 I_2 V$ 。反射到初级的等效

次级压降是 $F_{R_1} = -R_3 I_1$, 这里 R_3 的数值是在 $R_2=0$ 时, 而仍能得到同样的次级电压 E_{tss} . E_R 和 E_{R_1} 必须和变压器的圈数成比例。那末

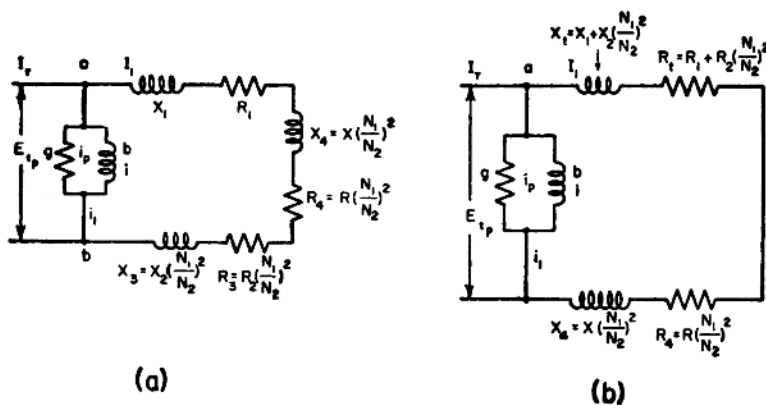


图 1-6 变压器的等效电路

$$E_{R_3} = -R_3 I_1 = E_R \left(\frac{N_1}{N_2} \right) = -R_2 I_2 \left(\frac{N_1}{N_2} \right)$$

由于

$$I_2 = I_1 \left(\frac{N_1}{N_2} \right)$$

可以化出，等效次级电阻反射到初级时则为：

同样，等效次级漏感抗反射到初级时为：

$$X_3 = X_2 \left(\frac{N_1}{N_2} \right)^2 \quad \dots \dots \dots \quad (1-13)$$

同样的方法可用于代表次级负载。因此— I_2 安的负载，滞后功率因数 $\cos \theta_2$ 可以用电阻 R 和电抗 X 来表示，这样

$$\cos \theta_2 = -\frac{R}{\sqrt{R^2 + X^2}}$$

这负载是等效于一电阻压降 $E_2 = -I_2R$ 和一电抗压降 $E_x = -I_2X$ 。那末可以化出反射到初级的等效电阻和等效电抗是：

$$R_4 = R \left(\frac{N_1}{N_2} \right)^2 \quad \dots \dots \dots \quad (1-14)$$

如图 1-6(a) 所示的电路将提供如同原有变压器一样的总负载电阻。通过这一电路的核对，在初级测量到的变压器总电阻是：

$$R_t = R_1 + R_2 \left(\frac{N_1}{N_2} \right)^2 \quad \dots \dots \dots \quad (1-16)$$

那末，可以化出总漏感是：

$$X_t = X_1 + X_2 \left(\frac{N_1}{N_2} \right)^2 \quad \dots \dots \dots \quad (1-17)$$

因此，变压器在负载时，可用图 1-6(b) 来表示，此图可用来对电压调整率进行便利地计算。

图 1-7 所示的短路试验，可用于决定 R_t 和 X_t 。次级如图示予以短路，在初级绕组加一适当电压（通常是正常电压的 4~10%），使初级得到满载电流 I_1 。由于满载次级阻抗压降只占次级端电压的很小百分数，铁心的磁化电流可以忽略不计。所以初次级两绕组都通过它们的额定电流。图 1-7 所示的功率表读出变压器的输入功率；由于那里并没有输出，全部都是变压器损耗。在短路情况下，铁心损耗很少，可以忽略不计，从功率表读出的功率，可以看作是两绕组的铜耗（由于初级和次级都通过额定的电流）。反射到初级的总等效电阻可从功率表的读数作如下计算：

$$R_t = R_1 + R_2 \left(\frac{N_1}{N_2} \right)^2 = \frac{P}{I_1^2} \quad \dots \dots \dots \quad (1-18)$$

总等效阻抗可直接从电流表和电压表的读数直接算出：

$$Z_t = \frac{E_z}{I_1} = \sqrt{R_t^2 + X_t^2} \quad \dots \dots \dots \quad (1-19)$$

总等效漏感很容易地计算出来。两绕组之一都可以短路来进行这一阻抗试验。一般情况下，以短路低电压绕组为最便利和正确，这是因为从高压绕组可以读得较高的 E_z 和较小的 I_1 ，也便于使用通用的仪表。

§ 1-5 电压调整率

变压器的电压调整是指初级电压保持恒值，次级电压在无载和满载下的变化。调整率的百分值是基于满载电压。大型配电变压器的电压调整通常仅稍大于电压降。在功率因数为 1 的情况下，调整率范围约为 1~2.5%；但是小型的电讯变压器约为 5~25%，它的数值决定于设计和工作温度范围。经验告诉我们，在一般情况下，60 Hz 变压器在 250 VA 以下和 400 Hz 变压器在 50 VA 以下，它的大小，决定于电压调整率。如要求较好的调整率，就必须采用较大的尺寸。对较大的 VA 值，外型的大小，决定于工作温度范围。一个良好的设计，对线圈工作温度在 200°C 或以下的，电压调整率最大为 10%；200°C 以上者为 15%。当变压

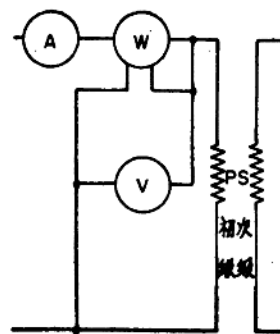


图 1-7 变压器的短路试验

器负载的功率因数从 1 变到滞后时，如阻抗压降和满载端电压同相，电压调整率将达到最大值。当功率因数变为超前时，电压调整率将小于 1；减到零，最后变成负；因此将形成满载电压超过无载电压。高压变压器的电压调整率较同功率的低压变压器为大，这是因为要达到足够电介质强度的要求，而加大初次级的间隔（厚度），从而增加了漏感。

变压器的调整率可从短路试验的总等效电阻和漏感计算而得。假使初级电流是 I_p ，那末总等效电阻压降为 RI_p ，总等效感抗压降为 XI_p 。

§ 1-6 变压器损耗和效率

变压器的各种损耗，可作如下的定义：

(a) 初级铜耗 = $I_p^2 R_p$;

(b) 次级铜耗 = $I_s^2 R_s$;

(c) 铁心损耗：

(1) 磁滞损耗；

(2) 涡流损耗。

初次级感抗造成的电压降，并没有消耗能量。磁滞和涡流损失是由于铁心里的交变磁通，这决定于频率和磁通密度。磁滞损耗可按下式计算：

$$\text{磁滞损耗} = K_h f B_m^x, (\text{W}) \quad (1-20)$$

式中， K_h ——取决于材料的常数；

B_m ——铁心的最大磁通密度，Gs；

f ——电源频率，Hz；

$x = 1.6 \sim 2$ 。

涡流损耗可按下式计算：

$$\text{涡流损耗} = K_e B_m^2 f^2 t^2, (\text{W}) \quad (1-21)$$

式中， K_e ——决定于材料的常数；

B_m ——铁心最大磁通密度，Gs；

f ——电源频率，Hz；

t ——铁心片厚度。

恒压变压器的铁心损耗，通常是一恒值，它可以在次级无载情况下，很容易测得输入功率。无载情况下的小量初级铜耗，可以略而不计。铜耗随着负载电流的平方而变化，这是因为端电压几乎是一恒值，铜耗可视为与负载平方成比例。变压器的效率是：

$$\eta = \frac{\text{输出}}{\text{输入}} = \frac{\text{输出}}{\text{输出} + \text{损耗}} \quad (1-22)$$

一般情况下，都假定在功率因数为 1 时计算效率。在其它功率因数时，效率将低于功率因数为 1 时，这是因为功率输出在同样损耗下将要减少。

第二章 电子变压器材料

电子变压器用的材料可分为五大类：

- (a) 绝缘材料;
 - (b) 铁心材料;
 - (c) 导体材料;
 - (d) 外壳材料;
 - (e) 端接材料。

对各种不同结构来说，这些分类之间，并无明显的界限。例如密封变压器的外壳，既是绝缘系统部分，而在某些情况下，又是端接设计部分。这样划分虽不精细，但对叙述变压器材料这个目的来说，还是比较满意的。

§ 2-1 绝缘材料

这些材料常用在变压器的各个部分，以构成绝缘系统。根据变压器的设计要求，这种绝缘系统必须在层与层、匝与匝、绕组与绕组和绕组与接地（外壳和铁心）之间提供所需的介电强度和泄漏电阻。这系统还包括浸渍、封装、填充和密封材料作为补充绝缘。工作温度的上限通常是由系统中绝缘的耐热等级来决定。大多数绝缘材料是有机的，因此容易受氧化和热解作用的影响。有机绝缘材料的寿命随着绝对温度的倒数而呈对数变化，这可用 Arrhenius 方程来表示：

式中, L 是寿命(小时), T 为绝对温度, A 和 b 是经验常数

根据这一关系式可知, 温度每升高 10°C , 寿命缩短一半。这种关系见图 4-1 所示。按照规定温度下的寿命, 可将变压器用绝缘材料分为三组。这个标准是说, 在规定最高工作温度下, 绝缘系统必须具备变压器寿命所要求的足够绝缘电阻和介电强度。

(1) 105°C组——浸渍过、涂复过或浸过适当介质(如油)的棉、丝和纸等材料或其材料的组合物。至于其它一些材料,只要在105°C及电压应力下,经过试验,证明它最短有10000小时寿命的,也可列入本组范围。

(2) 130°C组——具有良好粘结表面的云母、玻璃纤维和石棉等材料或其材料的组合物。至于其它一些材料，只要在130°C及电压应力下，经过试验，证明它最短有10000小时寿命的，也可列入本组范围。优质的电缆纸也可视为这一类的例子，因为这些优质纤维材料在130°C时的寿命超过10000小时，也可列入本组范围。

(3) 200°C组——硅有机树脂、云母、玻璃纤维、石棉、聚四氟乙烯和其它含氟化合物等材料或材料的组合物。其它一些材料或材料的组合物，经过试验，证明它最短有10000小时寿命的，也可列入本组范围。在180°C下证明有20年寿命的，也可认为与此材料等效。

总的说来，这种分组与美国电机工程师学会(AIEE)的标准 № 1 中的 A, B, H 级相符合。变压器绝缘材料按耐温等级分类见表 2-1 所示。

表 2-1 变压器绝缘材料的耐温等级

应 用 和 材 料	温度极限°C (2000 小时寿命)						备 注
	105	130	200	300	350	600	
I. 导线绝缘							
1. 酚醛清漆	→						
2. 环氧清漆		→					
3. 聚四氟乙烯被复陶瓷		→					3. 具有二层聚四氟乙烯的无机陶瓷。
4. 单层玻璃(硅有机树脂处理)			→				
5. 聚脂清漆		→					
6. 瓷漆	→						
7. 硅有机树脂漆		→					
II. 导 线							
1. 铜线		→					1. 超过 225°C 时，铜需要阻挡材料，以防止永久性的变化。
2. 镀镍铜线			→	→	→		2. 350°C 时只适用于具有充气控制的环境防护式样。
3. 铝线			→				
4. 银线				→			
III. 层与层间绝缘							
1. 电缆纸	→						1. 表面结构良好，易于浸渍。厚度 0.007—0.002吋。
2. 玻璃纤维布("Mylar")*	→						2. 表面光滑，不能浸渍。厚度 0.00015—0.005吋。
3. 聚四氟乙烯薄膜("Teflon")*		→					3. 光滑表面，不能浸渍。厚度 0.00025—0.005吋。
4. 石棉纸(有机硅浸渍)		→					4. 材料不均匀，可以浸渍。厚度 0.003—0.02吋。大多用 0.003吋。
5. 云母纸			→	→			5. 用于 350°C，有机硅处理的金云母或白云母的云母纸。高温时以金云母为好。厚度为 0.001—0.005吋。
6. 裂介云母				→			6. 具用有机硅处理薄膜的云母粉，局部熟化。用涂复增加韧性、挠性而减小裂化，提供粘性的表面。厚度为 0.001 吋。因尺寸限制，线圈不能多层绕制。
7. 玻璃纤维布("Fiberglas")*			→				7. 环氧或有机硅浸渍的玻璃布，它的介电强度，差不多完全决定于树脂。
8. 玻璃纤维布("PYRE-M.L.")*		→					
9. 玻璃纸(尼龙纸 "Nomax")*		→					
IV. 浸渍材料							
1. 酚醛清漆	→						
2. 有机硅清漆		→					
3. 环氧树脂		→					
4. 硅橡胶			→				
5. 地腊	→						
6. 耐火陶瓷				→			6. MgO, Al ₂ O ₃ 和 AlPO ₄ 的混合物。

续 表

应用和材料	温度极限°C (2000 小时寿命)						备 注
	105	130	200	300	350	600	
V. 填充材料							
液体的							
1. 矿物油——→							
2. 非易燃性合成绝缘油(Askarel)→							
3. 有机硅液体——→							
固体的							
4. 氧化镁——→							
5. 耐火陶瓷——→						→	5. MgO, Al ₂ O ₃ 和 AlPO ₄ 的混合物。
6. 黑色沥青——→							
7. 热固性材料——→							
8. 石英粉							8. SiO ₂ —99.77%, Al—0.083%, Ti—0.014%。
气体							
9. 氮(N ₂)——→						→	
10. 全氟乙烷(C ₂ F ₆)——→					→		10. 沸点 102°C
11. 六氟化硫(SF ₆)——→							
12. 全氟环醚(C ₅ F ₁₀ O)——→							12. 沸点 177°C。将这些液体混合，可制成沸点超过上述范围的特别液体。
13. 全氟三丁胺(C ₆ F ₉) ₃ N——→							
VI. 密封材料							
1. 环氧树脂——→							1. 最广泛使用的材料，用于具有数量变化的负载之变压器。
2. 聚酯树脂——→							3. 填以玻璃，以防止在 200°C 以上对碎裂。
3. 硅橡胶——→			→				
VII. 底筒材料							
1. 电缆纸——→							1. 清漆浸渍
2. 石棉纸——→							2. 有机硅漆浸渍
3. 云母纸——→						→	3. 有机硅漆浸渍
4. 玻璃带——→							
5. 阳极氧化处理的铝——→							
VIII. 扎绳材料							
1. 有机硅处理的石棉玻璃——→						→	
2. 未处理的玻璃丝——→						→	
IX. 外包材料							
1. 清漆葛纹纸——→							1. 厚度为 0.005—0.01 时
2. 涂胶青壳纸——→							2. 厚度为 0.005—0.015 时

* 商品的商标或牌号

绝缘材料的作用，一般是使二个或多个导体之间保持电绝缘。但是机械、化学、热学和成本等，都是变压器设计中所必须考虑的因素。绝缘材料在各种条件下易受电气和机械上的老化，由于变压器的有效寿命取决于这种老化，故了解这些情况是必要的。

§ 2-2 介电强度

介电强度是能够承受而不致击穿的电位梯度(击穿电压除以材料厚度)。该值用以表明样品两端的电位(伏)或电位梯度。按照美国材料试验协会(ASTM)标准试验条件所刊载的数据，是进行材料比较的主要方法。由于可变因数多，在特定设计时所需的介电强度，必须仔细决定。使用电压的比例、电场均匀性、含水量、绝缘老化特性以及其它各种因素，均影响介电强度。

2-2-1 电 场

绝缘很少在均匀的电场里使用，往往位于因边缘效应或接地点造成畸变的非均匀的电场中使用。在非均匀点上，非均匀电场将会使绝缘受到超过平均电场强度的局部场强的影响。

电位梯度的这种集中，通常发生在导体表面的尖锐点或不规则的峰值上，它会导致电离和电晕。

一般电气结构的电位梯度能使得出分析上的解答，然而这种最大梯度的许多计算不是太困难，就是太烦复。

同轴电缆(同心圆筒)最大电压梯度的推导如下：

$$E = \frac{dv}{dx} \Big|_{\max}$$

V ——电位降；

A ——面积；

ψ ——电通量；

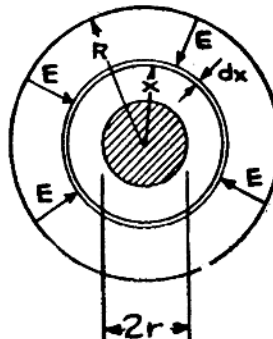
D ——电通密度 $= \psi / A$ ；

ϵ_0 ——自由空间的介电常数；

ϵ_r ——媒质的相对介电常数；

$$\epsilon = \epsilon_0 \epsilon_r$$

根据半径为 x 的圆柱体：



$$\psi = \int (D \cos \theta) da$$

因为电通线是从圆柱体表面径向地发出的； $\theta = 90^\circ$

$$\psi = \int (D \cos 90^\circ) da = D \int 2\pi dx = D 2\pi x$$

$$(1) \psi = D 2\pi x$$

$$D = \epsilon_0 \epsilon_r E$$

$$(2) E = \frac{\psi}{\epsilon 2\pi x} \quad (\text{根据方程 (1) 而得})$$

$$E = \frac{dv}{dx} \Big|_{\max}$$